

تحلیل آماری بی‌亨جارتی‌های دمای حدائق و حداکثر ایران در دوره سرد سال بهمنظور درک اثر تغییر اقلیم بر مناطق مختلف ایران

الهام یاراحمدی-دانشجوی دکتری اقلیم‌شناسی، دانشگاه لرستان، لرستان، ایران
مصطفی کرمپور^۱-استادیار گروه اقلیم‌شناسی، دانشگاه لرستان، لرستان، ایران
هوشنگ قائمی- استاد هواشناسی پژوهشکده هواشناسی و علوم جو تهران، تهران، ایران
محمد مرادی- استادیار پژوهشکده هواشناسی و علوم جو تهران، تهران، ایران
بهروز نصیری- استادیار گروه اقلیم‌شناسی دانشگاه لرستان، لرستان، ایران

تاریخ دریافت: ۱۳۹۷/۳/۲۶ تاریخ تصویب: ۱۳۹۷/۶/۱۷

چکیده

بررسی بی‌亨جارتی‌های دما برای شناخت تغییر اقلیم و خطرات ناشی از آن ضروری است. در این پژوهش بهمنظور شناخت بهتر خصوصیات و تغییرات دمای حدائق و حداکثر پس از بررسی کیفی داده‌های ۶۰ ساله (۱۹۵۱-۲۰۱۰) ایستگاه، آمارهای میانگین، ضریب تغییرات و احتمال ۲۰٪ حد بالا و پائین دمای حدائق و حدائق داده‌ها برای تشخیص دوره‌های سرد و گرم فراگیر محاسبه شد. از آزمون منکندا برای تشخیص روند سری‌های استفاده شد. کمترین میانگین دمای حدائق پاییز (اکبر، نوامبر، دسامبر) و زمستان (ثانویه، فوریه، مارس) در نیمه غربی و بیشترین آن در نیمه جنوبی رخ داده است. کمترین ضریب تغییرات دمای حدائق پاییز در سواحل شمالی و جنوبی، در زمستان سواحل شمالی و جنوبی و قسمت‌های شرق مشاهده می‌شود. همچنین کمترین دمای حداکثر در پاییز در شمال غرب و غرب و در زمستان در شمال و شمال غرب رخ داده است. بیشترین دمای حداکثر در دو دوره در نیمه جنوبی ثبت شده است که با کمترین ضریب تغییرات همانگ است. میانگین دمای حدائق و حدائق ۳۰ ساله دوم نسبت به ۳۰ ساله اول و ۱۰ ساله آخر نسبت به ۱۰ ساله اول در اکثر ایستگاه‌ها افزایش یافته است. بیشترین وقوع فراگیر امواج سرمایی در فصل پاییز و زمستان در دهه ۷۰ و ۸۰ و بیشترین امواج گرمایی در دهه ۶۰ و ۲۰۰۰ رخ داده است. طبق نتایج آزمون منکندا در دمای حدائق طی پاییز و زمستان به ترتیب ۸ و ۴ ایستگاه روند کاهشی و مابقی روندی افزایشی داشته‌اند. دمای حدائق پاییز، در ۳ ایستگاه روند کاهشی داشته و در زمستان همه مناطق با

روند افزایشی مواجه بوده‌اند. در هر دو دوره حداقل‌ها بیشتر از حداکثرها افزایش یافته و دامنه اختلاف دمای شباهنگی کاهش یافته است که در بسیاری از موارد می‌تواند اثرات اقتصادی-اجتماعی، سیاسی و زیستمحیطی نامطلوبی به همراه داشته باشد.

واژگان کلیدی: دمای حداقل، دمای حداکثر، ضریب تغییرات، من کندال، امواج گرمایی و سرمایی

۱- مقدمه

اقلیم مناطق مختلف کره زمین در گذر زمان تغییرات بسیار زیادی داشته است. این تغییرات باعث فراوانی رخداد پدیده‌های فرین مانند طوفان، سیل، امواج گرمایی، یخ‌بندان و ... شده که در این ارتباط نیز مدل‌های اقلیمی، افزایش دماهای حدی را در آینده پیش‌بینی می‌کنند (Raisanen و همکاران، ۲۰۰۴). در حال حاضر فرض این که اقلیم کره زمین در حال تغییر است، دانشمندان و پژوهشگران را بر آن داشته است تا به بررسی رفتار این فراسنج که برای درک تغییرپذیری اقلیم با اهمیت است بپردازنند. چون این تغییرات در ابعاد فضایی و زمانی می‌تواند در مقیاس‌های محلی، منطقه‌ای و جهانی ظاهر شود (Alexander و همکاران، ۲۰۰۶). هیئت بین دولت‌های تغییر اقلیم به وضوح مشخص کرده است که در مقیاس جهانی دما در حدود ۰.۸۵ درجه سانتی‌گراد طی دوره ۱۸۸۰ تا ۲۰۱۲ افزایش داشته است (IPCC, 2013). علاوه بر این، از اوآخر قرن ۱۹ مقدار این افزایش بیشتر شده است (Houghton و همکاران، ۲۰۰۱). در سه دهه گذشته، بیشتر تحلیل‌ها در مورد دمای هوای سطح زمین بر روی مقادیر میانگین متتمرکز شده بود؛ اما در سال‌های اخیر بهویژه از اوآخر قرن ۲۱ روی تحلیل دماهای فرین با ساماندهی بالا و تغییرات آنها، روندهای منطقه‌ای دمای حداقل و حداکثر و دامنه تغییرات شباهنگی متتمرکز شده است. در حال حاضر پدیده‌های حدی در کانون توجه پژوهشگران قرار دارد، زیرا خطر افزایش فراوانی، مدت و حساسیت آستانه‌های اقلیمی به وسیله افزایش گازهای گلخانه‌ای و هواییزه‌ها در جو افزایش یافته است. کاهش پیامدهای ناشی از امواج گرمایی و سرمایی در آینده، در گرو شناسایی سازوکار امواج گرمایی و سرمایی، سامانه‌های هواشناسی ایجاد کننده آنها، پیش‌بینی و کشف راههایی برای کاهش تأثیرات آزاردهنده امواج گرمایی بر روی سلامت عمومی و همچنین شناسایی مناطق آسیب‌پذیر در ارتباط با امواج گرمایی و سرمایی است (اسمعیل‌نژاد و همکاران، ۱۳۹۲). تغییرات دما در چند دهه اخیر که آن را تغییر اقلیم می‌خوانند، معمولاً بر روی مسائل اجتماعی و اقتصادی، منابع طبیعی و دسترسی به آب به خصوص در مناطقی که فعالیت اقتصادی آنها وابسته به کشاورزی است (همانند اکثر مناطق ایران)، اثرات بسیار مؤثری داشته است (قاسمی، ۲۰۱۵). در حال حاضر نه تنها به داده‌ها و پژوهش‌های بیشتری در مورد الگوهای محلی تغییرات اقلیمی نیاز است، بلکه باید بر تغییرات الگوهای سامانه‌های جوی و نتایج آن بر روی منطقه که سبب این تغییرات می‌شود، بیشتر تمرکز نمود.

سیجرنی و همکاران (۲۰۱۶) در مطالعه‌ای به بررسی امواج گرمایی و سرمایی در سراسر آمریکای جنوبی پرداختند و به این نتیجه رسیدند که بسامد و شدت دوره‌های گرم بخصوص در ۱۰ سال اخیر افزایش یافته است؛ اما تغییرات قابل توجهی در امواج سرمایی ایجاد نشده است. Hamid و همکاران (۲۰۱۴) با بررسی روند دما در حوضه رودخانه Satluj در پاکستان با استفاده از آزمون ناپارامتری من کنдал به بررسی شاخص دما در هشت ایستگاه حوزه این رودخانه پرداختند. نتایج نشان می‌دهد که سه ایستگاه از ۸ ایستگاه مورد مطالعه روند کاهشی قابل توجه داشته است. بعضی ایستگاه‌های با ارتفاع بیشتر در هر دو دمای حداقل و حداکثر، افزایش دما را نشان داده‌اند. بررسی دمای فصلی نیز نشان می‌دهد که روند افزایش دما در زمستان و بهار بیشتر از تابستان و پاییز بوده است. بررسی روند دمای حداکثر و حداقل در شمال آمریکای جنوبی با استفاده از داده‌های دمای حداکثر و حداقل ۱۴ ایستگاه در ونزوئلا و کلمبیا طی دوره آماری ۷۳ ساله (Ramon ۲۰۱۴) نشان داده است که افزایش نسبی و پایدار سری‌های دمایی حداقل و کاهش اختلاف دمای شباهروزی طی ۲۵ سال اخیر در دوره آماری مورد نظر رخ داده است که در اکثر داده‌های ایستگاهی ثبت شده دارای تغییر قابل توجهی است. بارت و همکاران (۲۰۱۲)، نشان داده‌اند که به طورکلی افزایش مرگ و میر ناشی از امواج سرمایی ناچیز بوده، اما خطر مرگ ناشی از امواج گرمایی افزایش یافته است. Tshiala (۲۰۱۱) با بررسی روند دما در استان Limpopo در آفریقای جنوبی و روند سالانه دمای حداکثر و حداقل طی دوره ۵۰ ساله نشان داد که در هر ۱۰ سال، دما ۱۰,۱۲ درجه سانتی‌گراد در حوزه مورد مطالعه افزایش یافته است و ۱۳ درصد حوزه‌ها روند منفی و ۸۷ درصد آنها روند مثبت در میانگین سالانه دما را تجربه کرده‌اند. علاوه بر این در فصل زمستان و تابستان به ترتیب ۰,۱۸ و ۰,۰۹ افزایش دمای میانگین مشاهده گردیده است. Balling & Roy (۲۰۰۵)، با بررسی روند فصلی میانگین دمای حداقل و حداکثر، اختلاف شباهروزی دما و پوشش ابر طی دوره آماری ۷۲ ساله (۱۹۳۱-۲۰۰۲) نشان دادند که افزایش قابل توجهی در حداکثر و حداقل دما در فلات دکن رخ داده است. همچنین به دلیل افزایش پوشش ابر در کشمیر، اختلاف شباهروزی دما در فصل زمستان و تابستان منفی بوده است. مطالعات صورت گرفته بر دمای حداکثر و حداقل سواحل جنوبی دریای کاسپین (عزیزی و روشنی، ۱۳۸۲) در دوره آماری ۱۹۵۵ تا ۱۹۹۴ نشان می‌دهد، روند دمای حداقل در اکثر ایستگاه‌های این منطقه افزایشی و روند دمای حداکثر کاهشی است؛ بنابراین از دامنه نوسان دما در ناحیه کاسته شده است. همچنین این تغییرات در این منطقه در فصل‌های تابستان و زمستان بیشتر از بهار و پاییز به چشم می‌خورد. امیدوار و خسروی (۱۳۸۹)، نیز نشان داده‌اند که افزایش دمای حداقل در سری زمانی سال‌های ۱۹۵۶-۲۰۰۵ موجب افزایش متوسط دما در شهرهای بندرعباس، بوشهر و آبدان شده است. خوش‌اخلاق و همکاران (۱۳۹۰) نشان دادند که دمای حداقل در ۲۰ ایستگاه سینوپتیکی کشور روند افزایشی داشته است. آن‌ها نشان داده‌اند که نوسانات و تغییرات دما در مناطق ایران اختلافات زیادی دارد، به‌طوری‌که ایستگاه‌های شمال‌غرب و نواحی کوهستانی منفرد کشور تغییرات شدید مکانی

و زمانی دارند، اما تغییرات در ایستگاههای مرکزی و جنوبی ملائم‌تر بوده است. ورشاویان و همکاران (۱۳۹۰) با بررسی دماهای حداقل و حداکثر ۸ ایستگاه سینوپتیک در ایران نشان داده‌اند که اغلب ایستگاه‌ها روند افزایشی معناداری در دمای حداقل دارند. سبزی‌پرور و همکاران (۱۳۹۰)، با ارزیابی روند احتمالی تغییرات اختلاف دمای شباهروزی در برخی اقلیم‌های خشک کشور طی پنج دهه گذشته در ۱۱ ایستگاه همدیدی کشور با استفاده از روش من کندال و رگرسیون خطی طی دوره آماری ۱۹۵۶ تا ۲۰۰۵ نشان داده‌اند که ۱۸ درصد ایستگاه‌ها در برخی ماهها فاقد روند در اختلاف دمای شباهروزی هستند. همچنین مقادیر شیب کاهشی به دست آمده از آزمون من کندال نیز تو سط روش رگرسیون خطی تأیید شد و میانگین شیب کاهشی روند اختلاف دمای شباهروزی در ایستگاههای دارای روند حدود ۰,۴۴ درجه سانتی‌گراد در هر دهه به دست آمده است. در ایستگاههای شمالی و مرکزی روند کاهشی اختلاف دمای شباهروزی نیز بیشتر از ایستگاههای جنوبی بوده است. اسماعیل‌نژاد و همکاران (۱۳۹۲) با بررسی امواج گرمایی در ایران نشان داده‌اند که دوره‌های گرم کوتاه رخداد بیشتری داشته و تعداد امواج گرمایی پر تداوم کمتر رخ داده است. همچنین در پایان زمستان و روزهای نخستین پاییز دوره‌های گرم بیشتری رخ داده است و همچنین در شمال، شمال‌غرب، مرکز و سواحل جنوب ایران رخداد دوره‌های گرم بیشتر بوده است. بررسی تغییر اختلاف دامنه شباهروزی دمای هوا در مقیاس سالانه، فصلی، ماهانه و روزانه شهر مشهد نشان می‌دهد، دامنه اختلاف دمای شباهروزی در دوره ۶۰ ساله گذشته در ایستگاه مشهد روند کاهشی داشته است (شمس و موسوی بایگی، ۱۳۹۵). همچنین شیب تغییرات در سری زمانی دامنه تغییرات شباهروزی دمای هوای سالانه با میزان ۰,۰۲۹ درجه سانتی‌گراد در سال کاهشی بوده است و از نیمه دوم دهه ۱۹۸۰ تا ۲۰۱۰ دامنه تغییرات شباهروزی کاهشی بوده است. رئیسی نافچی و سلطانی محمدی (۱۳۹۵) در پژوهشی به بررسی تغییرات زمانی میانگین حداقل و حداکثر در ایستگاه شهرکرد طی دوره آماری ۱۹۶۱-۱۹۶۰ با استفاده از روش من کندال پرداختند. نتایج نشان می‌دهد که میانگین حداقل دما در فصل بهار، تابستان و پاییز و همچنین میانگین حداکثر دما در فصل تابستان دارای روند کاهشی معنادار بوده است. قاسمی فر و ناصرپور (۱۳۹۵)، با مطالعه امواج گرما و سرمایی در سواحل جنوبی خزر روند تغییرات دمای حداکثر در بیشتر ایستگاه‌ها کاهشی و برای دمای حداقل افزایشی بوده است. همچنین ایستگاه رامسر برای امواج گرم و سرد بیشترین فراوانی را داشته است. قوییلر حیمی و همکاران (۱۳۹۵) با مطالعه امواج سرمایی منطقه شمال‌غرب ایران طی دوره ۱۹۵۱-۲۰۱۰ نشان داده‌اند که هر چه هوا از عرض‌های بالاتری ریزش کند و جریان کنتر باشد، دوره‌های سرد شدیدتر و مستمرتری ایجاد می‌کند.

هدف این پژوهش بررسی روند تغییرات میانگین دمای حداقل و حداکثر طی دوره آماری ۶۰ ساله و مقایسه آن با دو دوره ۳۰ ساله اول و دوم و ۱۰ ساله اول و آخر بهمنظور درک بهتر تغییرات ایجاد شده در دما و شنا سایی رژیم دمایی کشور است که نتایج آن می‌تواند در مطالعات و برنامه‌ریزی مدیریت بحران در بخش‌های مختلف از جمله

منابع آب، کشاورزی، محیط زیست و آبخیزداری که از مدتی پیش زنگ خطر آن به صدا در آمده است، مفید فایده باشد. آنچه این پژوهش را از دیگر پژوهشها تمایز می‌سازد، استفاده از آمار تجربی طولانی مدت (۶۰ ساله) و تعکیک آن به بازه‌های زمانی کوتاه‌تر به منظور بررسی تغییرات ایجاد شده در بازه‌های زمانی کوتاه مدت (۳۰ ساله و ۱۰ ساله) و مقایسه آن نسبت به دوره نرمال ۶۰ ساله برای درک بهتر تغییرات اقلیمی ایجاد شده در مناطق مختلف کشور است. همچنین استفاده از معیار ۲۰ درصد حد بیشینه و کمینه دما به منظور مشخص کردن دوره‌در نوهای سرد و دوره‌های گرم فرآگیر خود از امتیازات این مقاله است.

۲- داده‌ها و روش‌ها

داده‌های روزانه دمای حداقل و حداکثر ایستگاه‌های سینوپتیک کشور از بدوان تا سیس تا سال از سازمان هواشناسی کشور گرفته شد. از میان ۲۰۰ ایستگاه سینوپتیک، ۲۶ ایستگاه که دارای پایه آماری مشترک ۶۰ ساله بودند، انتخاب و براساس روش‌های معمول پیشنهادی سازمان هواشناسی جهانی (WMO. NO. 100. NCP8. 2016) کیفیت داده‌ها بررسی شد. با توجه به اهداف مطالعه، داده‌ها به یک دوره ۶۰ ساله (۱۹۵۱-۲۰۱۰)، دو دوره ۳۰ ساله (۱۹۸۰-۱۹۸۱ و ۲۰۱۰-۱۹۸۱) و دو دوره ۱۰ ساله (۱۹۶۰-۱۹۵۱ و ۲۰۱۰-۲۰۰۱) تقسیم‌بندی شدند. داده‌های دمای حداقل و حداکثر روزانه بر اساس ماه، فصل (پاییز و زمستان) و دوره سرد (اکتبر- مارس)، مرتب شدند. فصل پاییز شامل ماههای اکتبر، نوامبر دسامبر، فصل زمستان شامل ماههای ژانویه، فوریه و مارس و دوره سرد از ابتدای ماه آکتبر تا انتهای ماه مارس است. برای هر ایستگاه، با استفاده از نرم‌افزار R آمارهای مورد نیاز شامل میانگین دمای حداقل و حداکثر فصل پاییز، زمستان و دوره سرد، انحراف معیار، مد، ضریب تغییرات، ضریب شکل و ضریب مقیاس) برای ادامه فرایند تحقیق محاسبه شدند. بر اساس داده‌های دوره ۶۰ ساله، ۲۰ درصد حد بیشینه برای دمای حداکثر و ۲۰ درصد حد کمینه برای دمای حداقل به ترتیب برای شناسایی دوره‌های گرم و سرد، محاسبه و استخراج شد. سپس گستره این دوره‌ها بر روی ایستگاه‌ها پهنگ‌بندی شد. با استفاده ازتابع من-کندا، روند داده‌های میانگین دمای حداقل و حداکثر فصل پاییز، زمستان و دوره سرد در یک دوره ۶۰ ساله محاسبه شد. در نهایت با استفاده از نرم افزار GIS برای متغیر حداقل و حداکثر دما در دوره‌های ۶۰ ساله (۱۹۵۱-۲۰۱۰)، دو دوره ۳۰ ساله (۱۹۸۰-۱۹۸۱) و دو دوره ۱۰ ساله و اختلاف آنها با یکدیگر، نقشه‌های هم ارزش ترسیم و به تفسیر آنها پرداخته شد. برای ترسیم نقشه‌های هم ارزش بر حسب ماهیت داده‌ها و پراکنش مکانی و آماری از روش IDW استفاده شد.

۳- نتایج

۱- بررسی میانگین و ضریب تغییرات دمای حداقل

مقایسه الگوهای میانگین و ضریب تغییرات دمای حداقل فصل پاییز و زمستان طی دو دوره ۳۰ ساله و یک دوره ۶ ساله مورد بررسی قرار گرفته است (شکل ۱). مقایسه الگوی میانگین دمای حداقل دو دوره نشان می‌دهد که الگوی ۳۰ ساله دوم شباهت بیشتری با الگوی ۶۰ ساله دارد. در صورتی که الگوی ضریب تغییرات طی دوره ۶۰ ساله در نیمه جنوبی و غربی و بخش‌هایی از شمال‌غرب با دوره ۳۰ ساله اول بیشتر منطبق است. به‌طورکلی کمترین میانگین دمای حداقل در فصل پاییز در هر سه الگو در شمال‌غرب، غرب دیده می‌شود و با گذر از مرکز ایران به سوی جنوب‌شرق و جنوب بر مقادیر میانگین دمای حداقل این فصل افزوده می‌شود. در فصل پاییز ضریب تغییرات در سواحل شمالی و جنوبی کشور کمتر از سایر نقاط است که بیانگر نزدیک بودن خصوصیات دما به توزیع نرمال است. در فصل زمستان میانگین دمای حداقل در هر سه دوره بجز در نواحی شمال و شمال‌غرب تقریباً بر هم منطبق هستند. در دوره سرد با وجود این که سه الگوی مورد مطالعه، تشابه زیادی از لحاظ میانگین دمای حداقل برویه در نیمه جنوبی، شمال غرب و غرب دارند، ولی ضریب تغییرات آنها تا حد زیادی متفاوت است. الگوی تفال میانگین دمای حداقل ۱۰ ساله اول از ۱۰ ساله آخر، چنین نشان می‌دهد (شکل ۲) که در فصل پاییز و زمستان در اکثر مناطق کشور در ۱۰ ساله دوم افزایش یافته است. بیشترین روند افزایشی در برخی نواحی جنوبی دریای کاسپین، کوهپایه‌های جنوبی البرز و بوشهر است.

الگوی میانگین و ضریب تغییرات (شکل ۱) در هر سه دوره در این منطقه نشان می‌دهد، طی دوره آماری ۶۰ ساله و دو دوره ۳۰ ساله میانگین دمای حداقل در زمستان، کمتر از پاییز بوده و ضریب تغییرات به نسبت بالاتر است. الگوی دمای حداقل فصل پاییز نشان می‌دهد که به‌طورکلی در ۳۰ سال دوم نسبت به ۳۰ سال اول و دوره ۶۰ ساله افزایش یافته است. در فصل زمستان الگوهای میانگین دمای حداقل ۶۰ ساله در سواحل جنوبی دریای کاسپین از الگوی ۳۰ سال دوم بیشتر تأثیر پذیرفته است. طی دوره ۶۰ ساله بیشترین ضریب تغییرات فصل پاییز و زمستان مربوط به ایستگاه گرگان است. به‌طورکلی در فصل پاییز و زمستان، طی ۳۰ سال دوم نسبت به ۳۰ سال اول و دوره ۶۰ ساله میانگین حداقل دما غیر از ایستگاه گرگان که روند کاهشی داشته (شکل ۳ و ۴)، افزایش یافته است. در ۱۰ ساله آخر نیز همین روند مشاهده می‌شود. نکته کلی اینکه در فصل پاییز این روند افزایشی بیشتر بوده است (شکل ۵).

در نواحی شمال و شمال‌غرب در هر دو الگوی پاییز و زمستان کمترین میانگین دمای حداقل در این نواحی دیده می‌شود. در فصل پاییز و زمستان الگوهای میانگین دمای حداقل ۶۰ ساله شمال‌غرب از الگوی ۳۰ ساله اول تأثیر پذیرفته است. در بین ایستگاه‌های مورد مطالعه، همدان از بیشترین ضریب تغییرات برخوردار است که می‌تواند به دلیل موقعیت جغرافیایی، نحوه آرایش ناهمواری‌ها و ارتفاع این ایستگاه باشد. مقایسه دمای حداقل ۳۰ ساله دوم

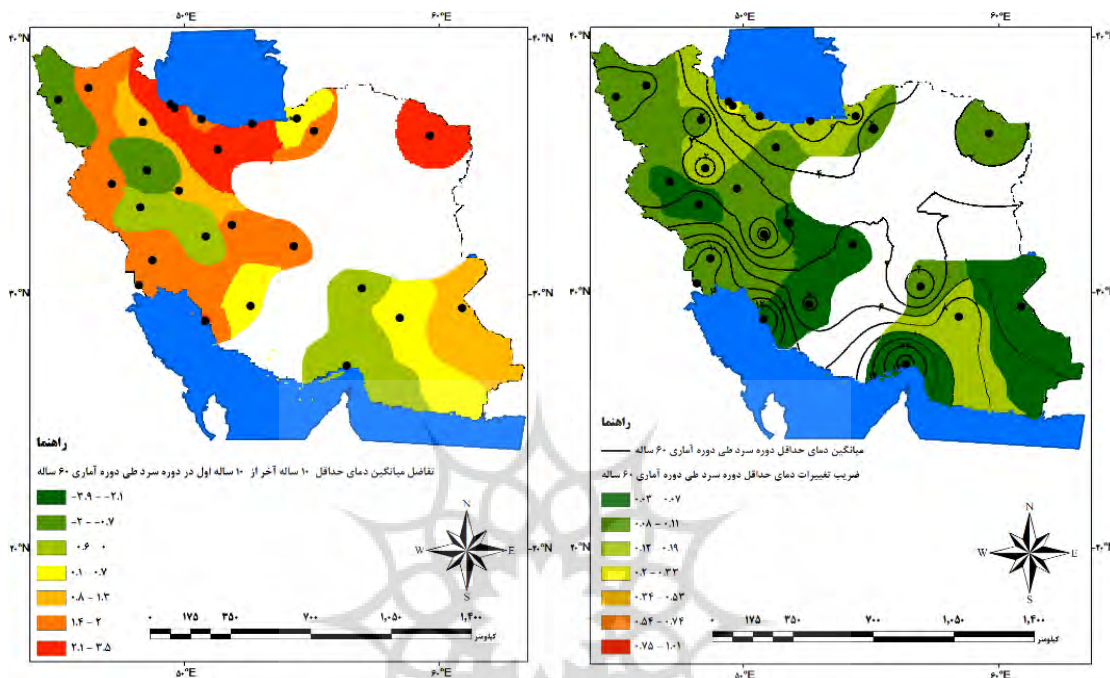
نسبت به ۳۰ سال اول و دوره ۶۰ ساله نشان می‌دهد که در فصل پاییز، غیر از ایستگاه تبریز و کرمانشاه، در این نواحی دمای حدائق کاهش یافته است. ایستگاه‌های شمال غرب در فصل زمستان روند افزایشی در دمای حدائق را تجربه کرده‌اند. در بقیه ایستگاه‌ها روند کاهشی مشاهده می‌شود. بی‌شترین روند کاهشی در میانگین دمای حدائق در کل کشور در ایستگاه خرم‌آباد بوده است. همچنین تفاصل ۱۰ ساله اول از ۱۰ ساله پایانی چنین بیان می‌کند که غیر از ایستگاه‌های کرمانشاه، زنجان و تبریز در بقیه ایستگاه‌های این نواحی میانگین ۱۰ ساله پایانی کاهش یافته است.

به‌طورکلی هم در دوره ۳۰ ساله پایانی و هم ۱۰ ساله پایانی دمای حدائق در اکثر ایستگاه‌های این نواحی کاهش یافته است (شکل ۳ و ۴).

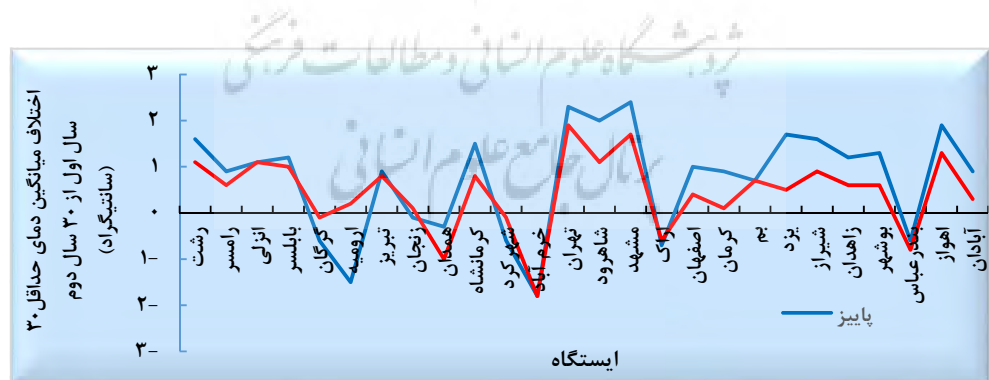
در کوهپایه‌های جنوبی البرز و شمال شرق، میانگین و ضریب تغییرات در همه دوره‌های مورد مطالعه پایین بوده و در ۳۰ سال دوم دمای میانگین حدائق بیشتری را نسبت به ۳۰ سال اول تجربه کرده‌اند. در این ناحیه میانگین دمای حدائق در ۳۰ سال دوم نسبت به ۳۰ سال اول و دوره ۶۰ ساله افزایش یافته است (شکل ۳ و ۴) که این افزایش در فصل پاییز بیشتر از فصل زمستان است. میزان ضریب تغییرات در ۳۰ سال اول بیشتر از ۳۰ سال دوم بوده است. همچنین در ۱۰ سال آخر نسبت به ۱۰ سال اول در این نواحی دمای حدائق افزایش یافته است (شکل ۵). بیشترین روند افزایشی دمای حدائق هم در ۳۰ ساله دوم و هم در ۱۰ ساله آخر در هر سه دوره در کل کشور در این ناحیه مشاهده می‌شود.

در نواحی مرکزی و شرقی، در ۳۰ سال دوم نسبت به ۳۰ سال اول و دوره ۶۰ ساله غیر از ایستگاه اراک، میانگین دمای حدائق افزایش یافته است؛ که این افزایش نسبتاً زیاد است. همچنین در فصل پاییز مقدار این افزایش در فصل پاییز بیشتر از فصل زمستان است. در ایستگاه اراک این میانگین دمای حدائق در هر سه دوره کاهشی بوده است که در فصل پاییز نسبت به زمستان مقدار این کاهش اندکی بیشتر است. الگوی ضریب تغییرات نیز در ۳۰ سال اول در این نواحی اندکی بیشتر از ۳۰ سال دوم دوره آماری بوده است و دوره ۶۰ ساله از دوره ۳۰ سال دوم تأثیر پذیرفته است (شکل ۳ و ۴). تفاصل ۱۰ ساله آخر نسبت به ۱۰ ساله اول نیز نشان می‌دهد که غیر از ایستگاه کرمان در هر دو دوره و ایستگاه بم فقط در پاییز، در بقیه ایستگاه‌های این نواحی میانگین دمای حدائق افزایش یافته که در برخی نقاط مقدار این افزایش قابل توجه است. به‌طورکلی در این نواحی میانگین ۳۰ ساله دوم و ۱۰ ساله آخر افزایش یافته است. در فصل پاییز و زمستان در نیمه جنوبی ایستگاه‌های بندرعباس و بوشهر بالاترین میانگین دمای حدائق را تجربه کرده‌اند. میزان دمای حدائق پاییز و زمستان در در ۳۰ سال دوم نسبت به ۳۰ سال اول و دوره ۶۰ ساله، و ۱۰ سال آخر نسبت به ۱۰ سال اول افزایش یافته است. در ایستگاه بندرعباس روند دمای حدائق در ۳۰ سال دوم نسبت به ۳۰

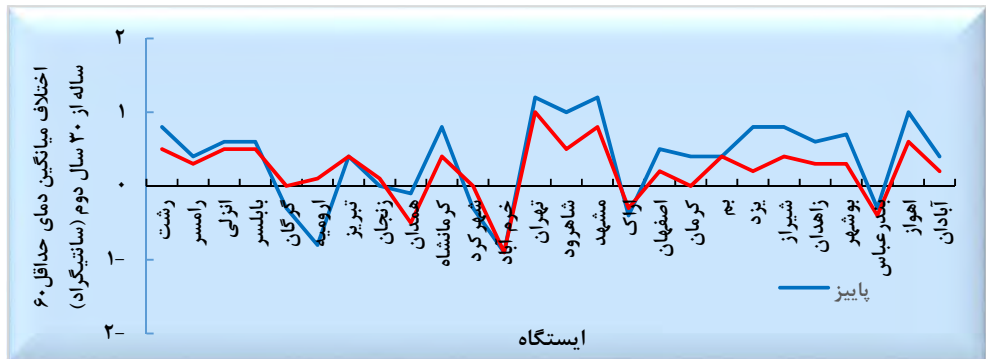
سال اول و ۱۰ ساله آخر نسبت به ۱۰ ساله اول کاهشی بوده که این مقدار کاهش در زمستان بیشتر از پاییز است (شکل ۴، ۳ و ۵).



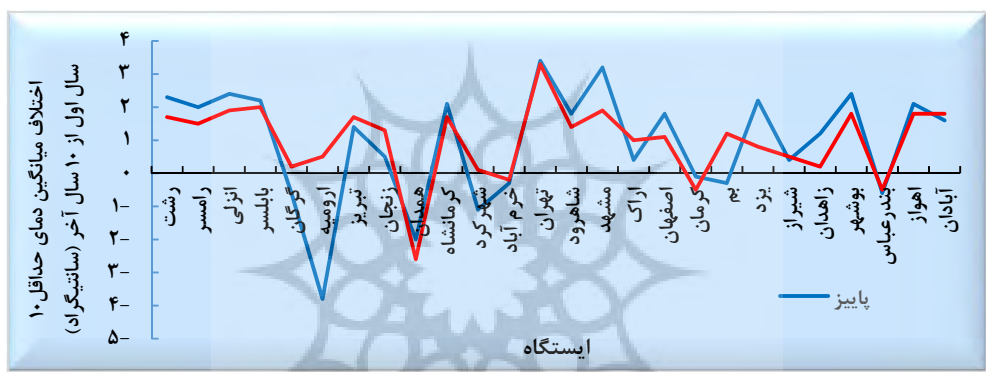
شکل ۱- میانگین و ضریب تغییرات دمای حداقل دوره ساله اول در دوره سرد طی دوره آماری ۶۰ ساله سرد طی دوره آماری ۶۰ ساله



شکل ۳- اختلاف میانگین دمای حداقل ۳۰ سال اول از ۳۰ سال دوم طی فصل پاییز و زمستان



شكل ۴- اختلاف میانگین دمای حداقل ۶۰ ساله از ۳۰ سال دوم طی فصل‌های پاییز و زمستان



شكل ۵- اختلاف میانگین دمای حداقل ۱۰ سال اول از ۱۰ سال پایانی طی فصل پاییز و زمستان

۲-۳- برآورد احتمال ۲۰ درصد حد پیشینه دمای حداقل

الگوهای برآورده احتمال ۲۰ درصد حد پیشینه دمای حداقل در دو دوره ۳۰ ساله و یک دوره ۶۰ ساله (شکل ۷) طی فصل پاییز و زمستان با اندکی تفاوت تقریباً شیبیه هم هستند و نشان می‌دهد که هر سه الگو در سواحل دریای کاسپین، نیمه جنوبی کشور بویژه سواحل خلیج فارس و دریای عمان و قسمت‌هایی از بخش مرکزی، دمای حداقل بالاتر و نواحی شمال‌غرب و غرب کشور دمای حداقل پایین‌تری را تجربه کرده‌اند (شکل ۷). برآورد ۲۰ درصد حد کمینه میانگین دمای حداقل طی فصل پاییز و زمستان و مقایسه آنها با یکدیگر نشان می‌دهد که طی این دو فصل شدت و گستره نفوذ توده‌های هوایی سرد در ۳۰ ساله دوم نسبت به ۳۰ سال اول بیشتر شده است (جدول ۱). هر چند داده‌های مربوط به میانگین دمای حداقل در ۳۰ سال دوم نسبت به ۳۰ سال اول وسعت بیشتری نشان می‌دهد؛ اما فراوانی آنها در دهه اول ۳۰ ساله دوم بیشتر و با نزدیک شدن به دهه دوم و سوم از نفوذ توده‌های هوای سرد فراغی به کشور در این فصول کاسته می‌شود که می‌تواند بیانگر ایجاد تغییر در نحوه و مقدار اثرگذاری توده‌های هوای

سرد نفوذی به کشور باشد. از طرفی مقایسه داده‌های احتمال ۲۰ در صد حد بیشینه و کمینه دمای حداقل فصل‌های پاییز و زمستان و دوره ۳۰ ساله اول و دوم نشان می‌دهد که تعداد وقایع حدی فراغیر در دوره ۳۰ ساله دوم افزایش یافته است. محدوده نفوذ این دوره‌های فراغیر در ایستگاه‌های مورد مطالعه در فصل پاییز و زمستان پهن‌بندی شده است (شکل ۸). برای سال‌هایی که بر اساس ۲۰ در صد حد کمینه، در آن دوره‌های سرد به منطقه مورد مطالعه وارد شده و آن را به اصطلاح سال‌های سرد فراغیر می‌نامند، سه سال با بیشترین فراوانی ایستگاه‌ها انتخاب شده است. بیشترین فراوانی این سال‌ها در جدول ۱ و ۲ آورده شده است.

جدول ۱- فراوانی ایستگاه‌های با رخداد دوره‌های سرد طی ۳۰ سال اول و دوم طبق برآورد ۲۰ در صد حد کمینه

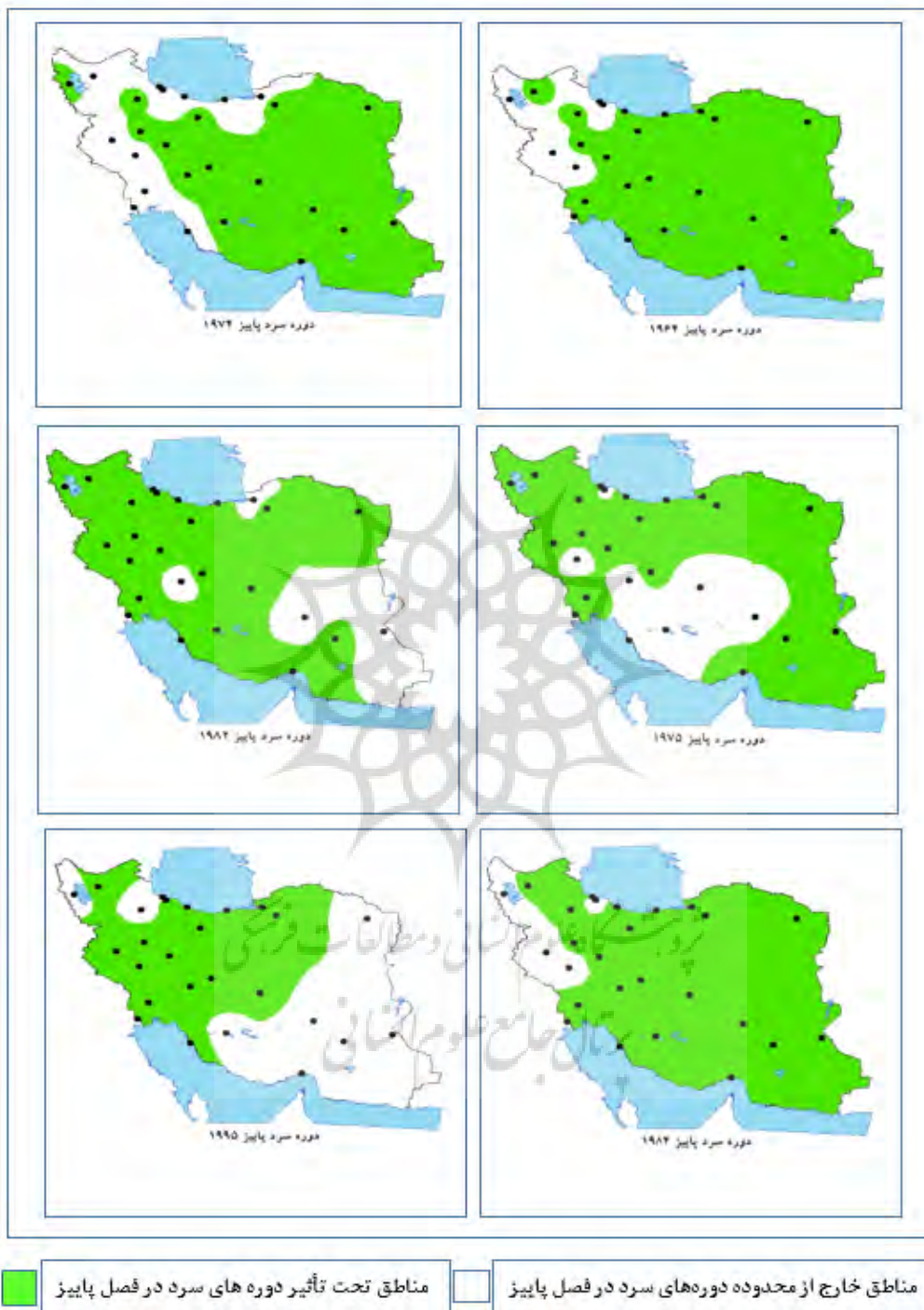
دمای حداقل

| سال ۳۰ اول (۱۹۵۱-۱۹۸۰) | | سال دوم (۱۹۸۱-۲۰۱۰) | | سال اول (۱۹۵۱-۱۹۸۰) | | سال دوم (۱۹۸۱-۲۰۱۰) | |
|---------------------------|---------|------------------------|---------|------------------------|---------|------------------------|---------|
| پاییز | | | | زمستان | | | |
| سال | فراوانی | سال | فراوانی | سال | فراوانی | سال | فراوانی |
| ۱۹۶۴ | ۲۲ | ۱۹۸۲ | ۲۲ | ۱۹۷۲ | ۲۶ | ۱۹۸۹ | ۲۶ |
| ۱۹۷۵ | ۱۹ | ۱۹۸۴ | ۲۲ | ۱۹۶۴ | ۲۳ | ۱۹۹۲ | ۲۵ |
| ۱۹۷۴ | ۱۶ | ۱۹۹۵ | ۱۷ | ۱۹۷۴ | ۱۷ | ۱۹۸۳ | ۲۵ |

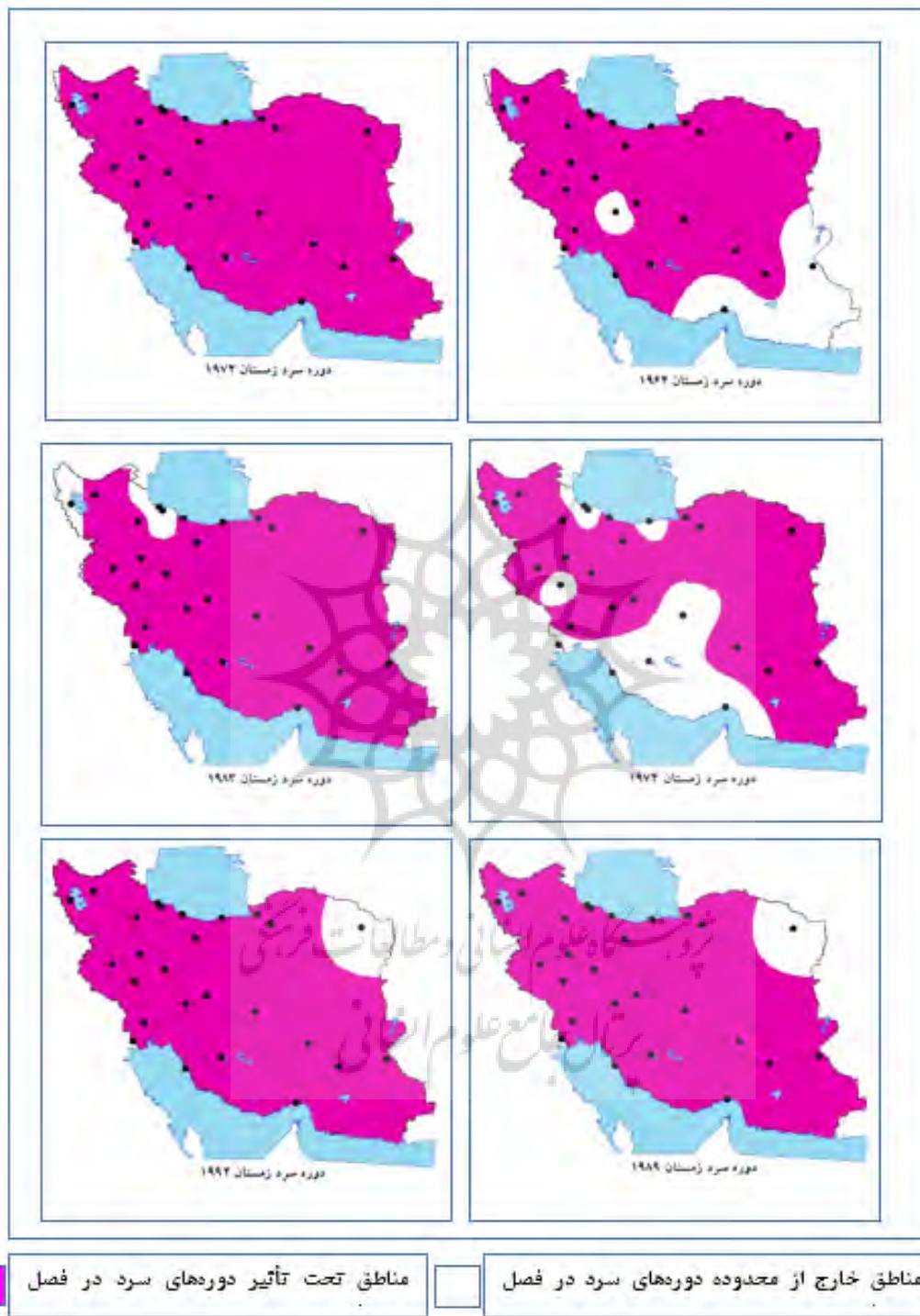
جدول ۲- فراوانی ایستگاه‌های با رخداد دوره‌های سرد طی ۳۰ سال اول و دوم طبق برآورد ۲۰ در صد حد بیشینه

دمای حداقل

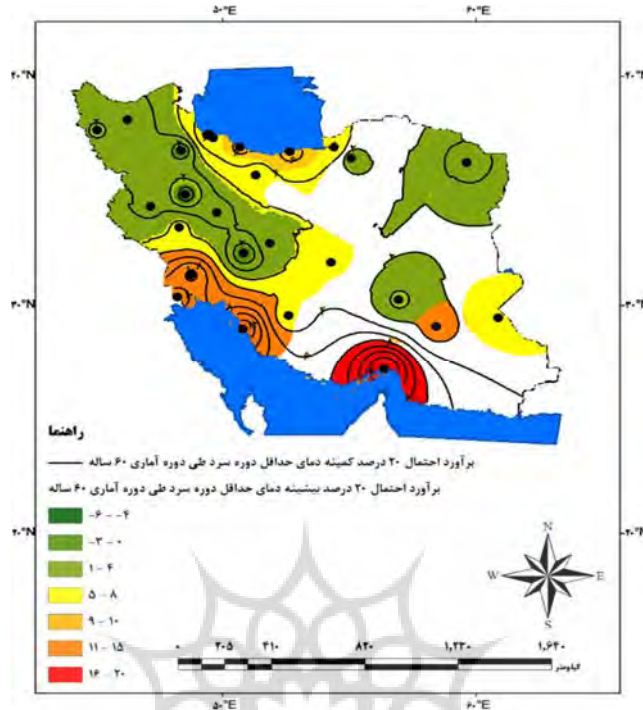
| سال اول (۱۹۵۱-۱۹۸۰) | | سال دوم (۱۹۸۱-۲۰۱۰) | | سال اول (۱۹۵۱-۱۹۸۰) | | سال دوم (۱۹۸۱-۲۰۱۰) | |
|------------------------|------------------|------------------------|------------------|------------------------|------------------|------------------------|------------------|
| سال | تعداد ایستگاه | سال | تعداد ایستگاه | سال | تعداد ایستگاه | سال | تعداد ایستگاه |
| پاییز | | | | | | | |
| ۱۹۶۶ | ۱۶ | ۱۹۹۸ | ۲۴ | ۱۹۶۶ | ۲۶ | ۲۰۰۴ | ۲۶ |
| ۱۹۷۰ | ۱۸ | ۲۰۱۰ | ۲۴ | ۱۹۶۳ | ۵۲ | ۲۰۱۰ | ۲۵ |
| ۱۹۶۱ | ۱۴ | ۲۰۰۵ | ۲۰ | ۱۹۵۸ | ۲۴ | ۲۰۰۲ | ۲۱ |



شکل ۶- محدوده اثر گذاری دوره‌های سرد در فصل پاییز بر اساس ۲۰ درصد حد کمینه دمای حداقل



شکل ۷- محدوده اثر گذا دوره‌های سرد در فصل زمستان بر اساس ۲۰ درصد حد کمینه دمای حد

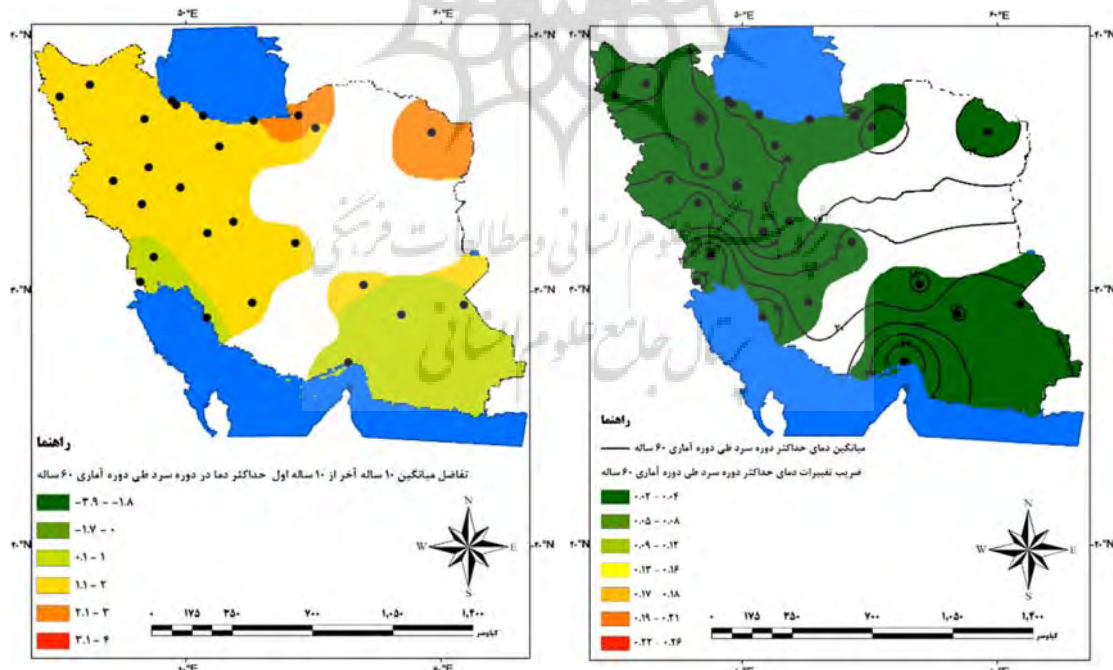


شکل ۸- الگوی ۲۰ درصد بالا و پایین دمای حداقل دوره سرد طی دوره آماری ۶۰ ساله (۲۰۱۰-۱۹۵۱)

۳-۳- بررسی نقشه‌های میانگین و ضریب تغییرات دمای حداکثر

نقشه‌های میانگین و ضریب تغییرات دمای حداکثر در فصل پاییز، زمستان طی دو دوره ۳۰ ساله و دوره ۶۰ ساله مورد بررسی قرار گرفته است (شکل ۷). نتایج نشان می‌دهد که با وجود شباهت کلی الگوهای میانگین دمای حداکثر در فصل پاییز در دو دوره ۳۰ ساله و یک دوره ۶۰ ساله، تفاوت‌های محلی در الگوی حاکم مشاهده می‌شود. به گونه‌ای که مقایسه سه دوره نشان می‌دهد، الگوی دوره ۶۰ ساله با دوره ۳۰ ساله دوم همخوانی بیشتری دارد. بطور کلی در هر سه دوره میانگین حداکثر دما از شمال و شمال‌غرب به سوی مرکز، جنوب، شرق و جنوب شرق افزایش و از میزان ضریب تغییرات کاسته می‌شود. کمترین میانگین حداکثر دمای ثبت شده در شمال‌غرب و غرب و بیشترین آن در نیمه جنوبی است. با وجود تشابه کلی روند تغییرات میانگین دمای حداکثر ثبت شده ۶۰ ساله با دو دوره ۳۰ ساله، مقدار ضریب تغییرات دوره سرد سال در بازه زمانی ۶۰ ساله کمتر است که نشان دهنده هجوم فراغیر هوای سرد و حاکمیت آن بر روی کشور است که باعث کاهش گردیدن دما شده است. در فصل پاییز نسبت به فصل زمستان در سواحل جنوبی دریای کاسپین دمای حداکثر بالاتر و ضریب تغییرات کمتری مشاهده می‌شود؛ اما در فصل زمستان دمای حداکثر کاهش یافته و ضریب تغییرات مقادیر بالایی را نشان می‌دهد. اختلاف ۳۰ سال اول نسبت به ۳۰ سال دوم و دوره ۶۰ ساله (شکل ۹ و ۱۰) طی فصل پاییز در این منطقه نشان می‌دهد که غیر از ایستگاه انزلی و

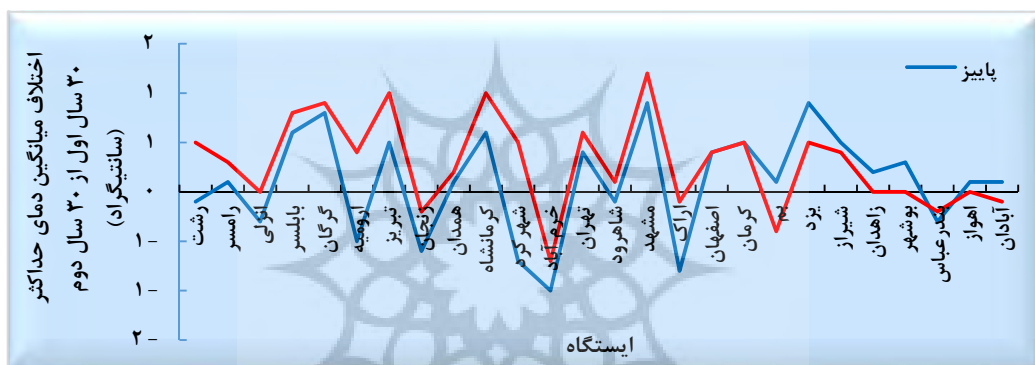
ر شت که میانگین دمای حداکثر در ۳۰ ساله دوم کاهش داشته، در باقی ایستگاهها با افزایش دمای حداکثر رو به رو بوده است. در فصل زمستان و دوره سرد، غیر از ایستگاه انزلی که تغییری در میانگین دمای ۳۰ ساله دوم نسبت به ۳۰ سال اول و دوره ۶۰ ساله مشاهده نشده، در سایر ایستگاهها روند افزایشی داشته است. به طور کلی در ۳۰ سال دوم نسبت به ۳۰ سال اول و دوره ۶۰ ساله و ۱۰ سال پایانی نسبت به ۱۰ سال اول (شکل ۸ و ۱۱) روند افزایشی در دمای حداکثر اتفاق افتاده است. در نواحی شمال غرب و غرب، در فصل پاییز و زمستان بالاترین ضریب تغییرات و کمترین میانگین دمای حداکثر رخ داده است. اختلاف ۳۰ ساله دوم نسبت به ۳۰ سال اول و دوره ۶۰ ساله و ۱۰ ساله پایانی نسبت به ۱۰ ساله اول در این منطقه کمی با دیگر نواحی متفاوت است. به طوری که در این نواحی روند افزایش مطلق میانگین دمای حداکثر در همه نواحی رخ نداده است و برخی ایستگاهها روند کاهشی داشته‌اند. در فصل پاییز غیر از ایستگاه‌های خرم‌آباد، شهرکرد و زنجان. در فصل زمستان غیر از ایستگاه خرم‌آباد و زنجان، و در دوره سرد در ایستگاه‌های خرم‌آباد، ارومیه، شهرکرد و زنجان که روند کاهشی در میانگین دمای حداکثر طی ۳۰ سال دوم داشته‌اند، در بقیه ایستگاهها روند افزایشی مشاهده می‌شود. تفاصل ۱۰ ساله آخر نسبت به ۱۰ ساله اول نیز نشان می‌دهد که در فصل پاییز غیر از ایستگاه اراک، خرم‌آباد و شهرکرد در بقیه ایستگاهها روند افزایشی در میانگین دمای حداکثر در ۱۰ ساله پایانی رخ داده است. در فصل زمستان و دوره سرد در ۱۰ ساله پایانی نسبت به ۱۰ سال اول در کل منطقه روند افزایشی مشاهده می‌شود که بیشترین افزایش در ایستگاه‌های ارومیه و کرمانشاه است (شکل ۱۱).



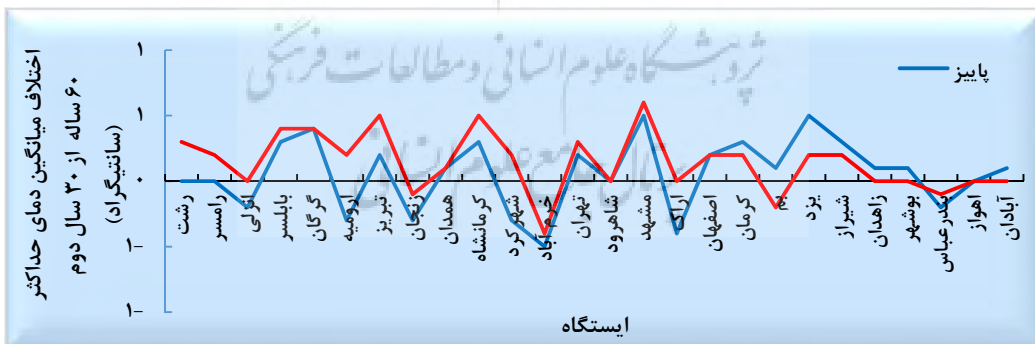
شکل ۱۰- تفاضل میانگین ۱۰ ساله آخر از ۱۰ ساله اول دمای حداکثر در دوره سرد طی دوره آماری ۶۰ ساله

شکل ۹- میانگین و ضریب تغییرات دمای حداکثر دوره سرد سال طی دوره آماری ۶۰ ساله

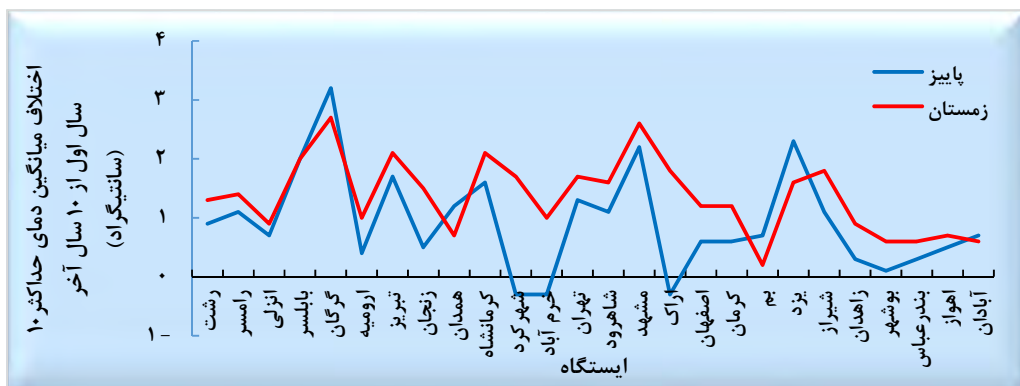
الگوها در کوهپایه‌های جنوبی البرز و شمال شرق نشان می‌دهد، طی ۳۰ سال اول و دوم ضریب تغییرات در این مناطق در فصل زمستان بیشتر از فصل پاییز است؛ اما در ۳۰ سال دوم دمای حداقل بیشتر است. بیشترین ضریب تغییرات در منطقه شمال شرق مشاهده می‌شود (شکل ۹). در دوره ۶۰ ساله در هر سه الگوی پاییز و زمستان ضریب تغییرات به نسبت پایین‌تر از دو دوره دیگر است. در این مناطق در فصل پاییز در ۳۰ سال دوم نسبت به ۳۰ سال اول و دوره ۶۰ ساله غیر از ایستگاه شاهروд در فصل زمستان نیز در هر دو دوره افزایش دما در ۳۰ سال دوم اتفاق افتاده است. در ۱۰ سال آخر نسبت به ۱۰ سال اول در هر سه فصل پاییز و زمستان روند افزایشی در میانگین حداقل دما رخ داده است که بیشترین افزایش به طور کلی در بین تمام ایستگاه‌های مورد مطالعه، مربوط به ایستگاه م‌شهد بوده است (شکل ۱۱، ۱۲ و ۱۳).



شکل ۱۱- اختلاف میانگین دمای حداقل ۳۰ سال اول از ۳۰ سال دوم طی فصل پاییز و زمستان



شکل ۱۲- اختلاف میانگین ۶۰ ساله از ۳۰ سال دوم طی فصل پاییز و زمستان



شکل ۱۳- اختلاف میانگین ۱۰ ساله اول از ۱۰ سال پایانی طی فصل پاییز و زمستان

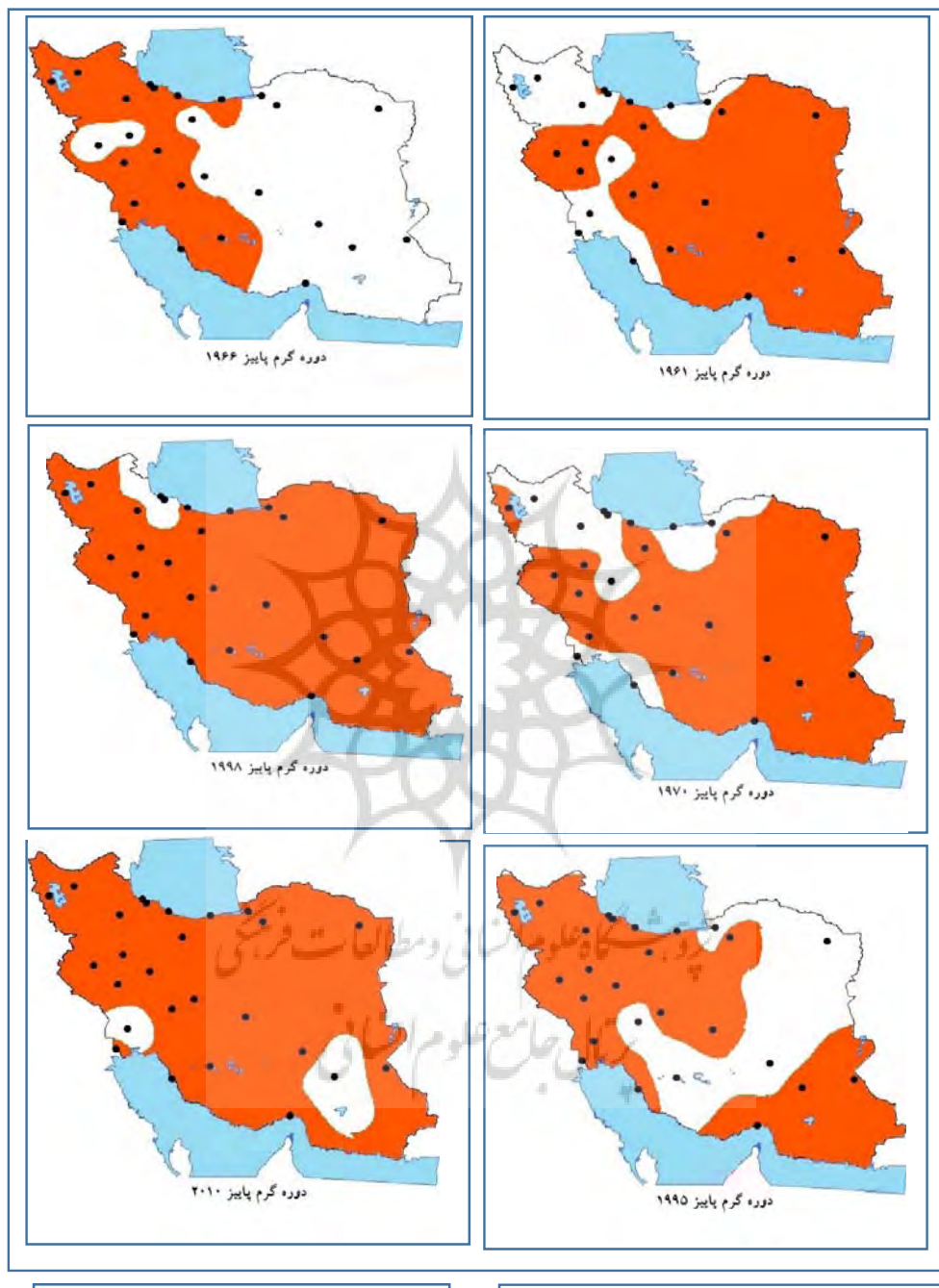
الگوها در نواحی مرکزی و شرقی نشان می‌دهد که در فصل پاییز در ۳۰ سال اول میانگین دمای حداکثر کمتر از ۳۰ ساله دوم و دوره ۶۰ ساله است و الگوی ۳۰ سال دوم بیشتر تأثیر پذیرفته است؛ اما در فصل زمستان دمای حداکثر کاهش و ضریب تغییرات افزایش یافته است (شکل ۹). تفاصل داده‌های ۳۰ سال دوم نسبت به ۳۰ سال اول و دوره ۶۰ ساله (شکل ۱۱ و ۱۲) نشان می‌دهد که در این نواحی در ۳۰ سال دوم نسبت به ۳۰ سال اول و دوره ۶۰ ساله در فصل پاییز غیر از ایستگاه اراک، در فصل زمستان غیر از ایستگاه اراک، بم و زاهدان که روند کاهشی داشته‌اند، بقیه ایستگاه‌های این نواحی روند افزایشی داشته است. در این نواحی تفاصل ۱۰ ساله اول از ۱۰ ساله آخر (شکل ۱۰ و ۱۳) بیان می‌کند که در همه ایستگاه‌ها غیر از اراک در فصل پاییز که در ۱۰ ساله آخر با کاهش میانگین دمای حداکثر همراه بوده است، در باقی ایستگاه‌ها افزایش دمای حداکثر اتفاق افتاده است. الگوی میانگین و ضریب تغییرات در نواحی جنوب‌غرب، جنوب و جنوب‌شرق در هر سه دوره در این نواحی نشان می‌دهد که میانگین حداقل دما بالاتر و ضریب تغییرات پایین‌تر از دیگر نواحی کشور است. در نواحی جنوب غربی در ۳۰ ساله دوم نسبت به ۳۰ سال اول و دوره ۶۰ ساله تغییرات بسیار ناچیز است. در نواحی جنوب و جنوب‌شرق نیز در ایستگاه‌های بندرعباس روند کاهشی محسوسی در هر سه فصل پاییز، زمستان و دوره سرد در ۳۰ سال دوم نسبت به ۳۰ سال اول و دوره ۶۰ ساله مشاهده می‌شود (شکل ۱۱ و ۱۲). همچنین در این نواحی در کلیه دوره‌های مورد مطالعه ۱۰ ساله پایانی نسبت به ۱۰ سال اول روند افزایشی در میانگین دمای حداکثر رخ داده است (شکل ۱۳).

۳-۴- برآورد احتمال ۲۰ درصد حد بیشینه دمای حداکثر

بررسی الگوی برآورد احتمال ۲۰ درصد کمینه و بیشینه دمای حداکثر پاییز در دو دوره ۳۰ ساله و یک دوره ۶۰ ساله (شکل ۱۴) نشان می‌دهد که بطور کلی نیمه شمالی بویژه شمال‌غرب کشور از میانگین دمای حداکثر پاییز تری برخوردارند و با حرکت به سوی جنوب و جنوب‌شرق به رخداد روزهای با میانگین دمای حداکثر افزوده می‌شود. در

سواحل جنوبی کشور ایستگاه‌های بندرعباس، بوشهر و آبادان بالاترین میانگین دمای حداکثر در این فصل را تجربه کرده‌اند. شباهت نقشه ۶۰ ساله و دوره ۳۰ ساله دوم بیشتر می‌باشد که نشان از تأثیرگذاری بیشتر داده‌های دوره ۳۰ ساله دوم که این تشابه در نیمه جنوبی کشور بیشتر می‌باشد که دلیل آن از یک طرف تعدیل هوایی سرد فرارفت شده بر روی کشور از مبادی ورودی آن به سوی مناطق مرکزی، جنوبی و جنوب شرق است و از طرف دیگر نفوذ توده‌های هوای جنوبی و تأثیر آنها در نیمه جنوبی ایران سبب تعدیل دما در این مناطق شده است. همچنین دوره‌های گرم فرآگیر در جدول (۲) آورده شده است. همچنین محدوده اثر گذاری این دماها در فصل پاییز زمستان به صورت پنهان نشان داده شده است (شکل ۱۵ و ۱۶). همان طور که در جدول (۲) دیده می‌شود، در ۳۰ سال اول دوره آماری طی فصل پاییز و زمستان، در دهه ۶۰ بیشتر تحت تأثیر دماهای حداکثر بالای فرآگیر قرار گرفته است؛ اما در ۳۰ سال دوم در دهه ۲۰۰۰ بیشترین و فرآگیرترین رخداد دوره‌های گرم نسبت به ۵ دهه گذشته اتفاق افتاده است.

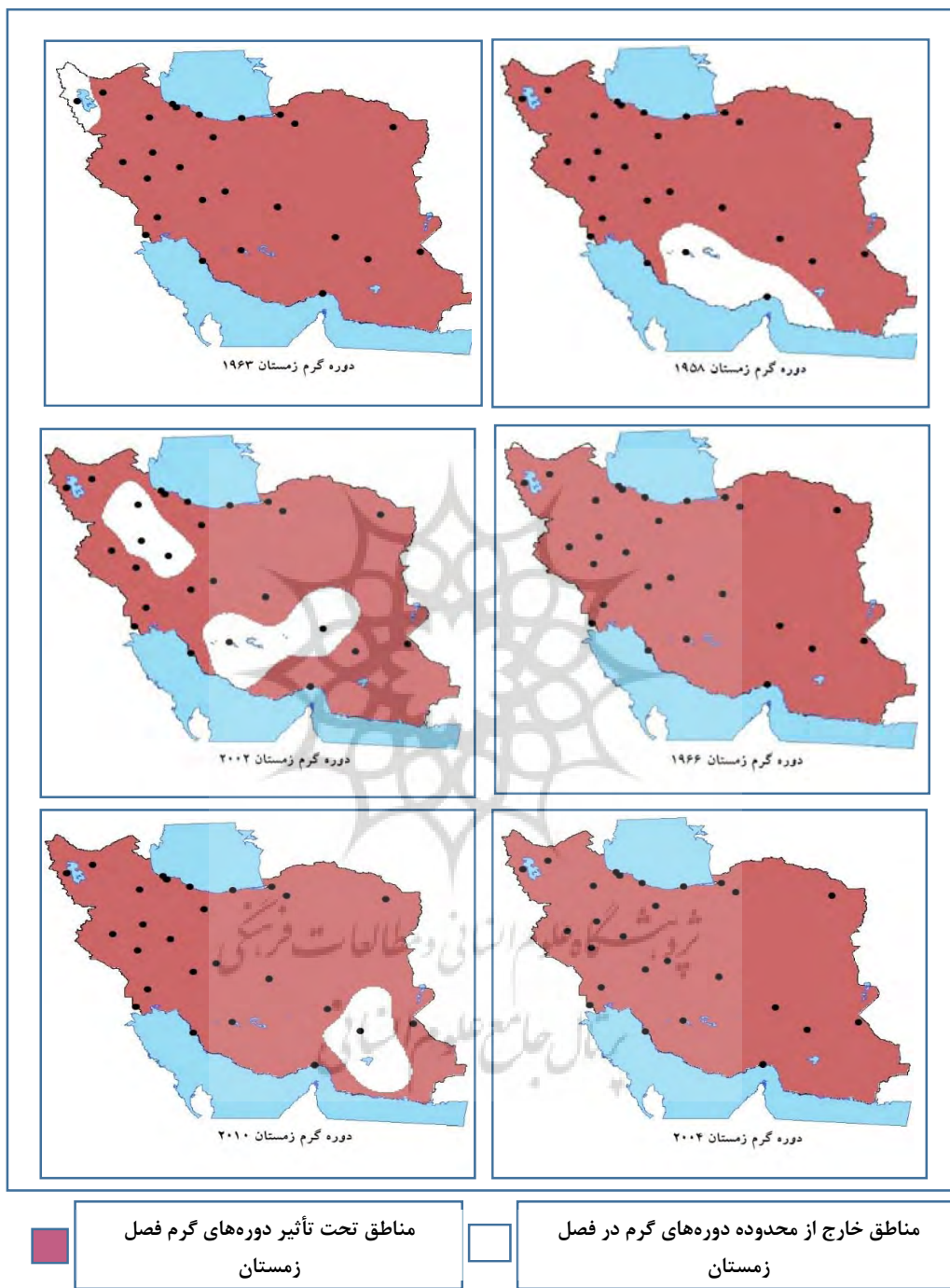




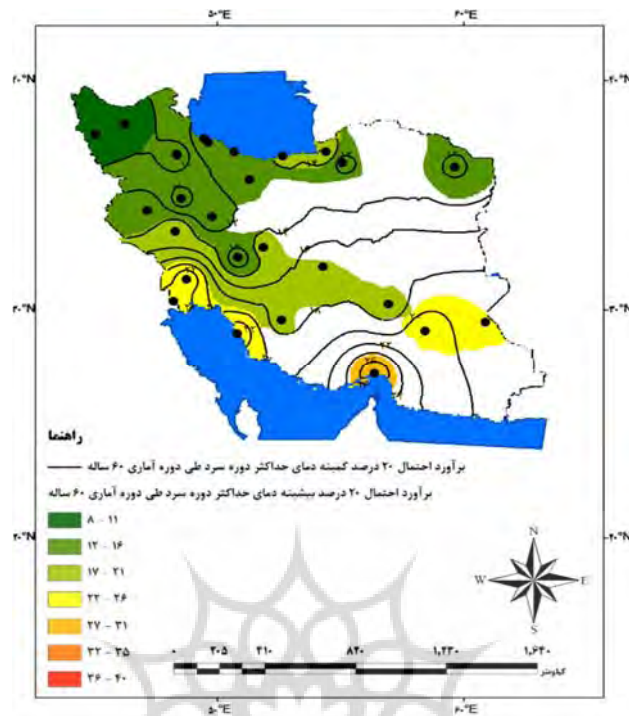
■ مناطق تحت تأثیر دوره‌های گرم در فصل پاییز

□ مناطق خارج از محدوده دوره‌های گرم در فصل پاییز

شکل ۱۵- محدوده اثر گذاری دوره‌های گرم در فصل پاییز بر اساس ۲۰ درصد حد بیشینه دمای حداقل



شكل ۱۶- محدوده اثر گذاری دوره‌های گرم در فصل زمستان بر اساس ۲۰ درصد حد بیشینه دمای حداکثر



شکل ۱۴-الگوی ۲۰ درصد بالا و پایین دمای حداکثر طی دوره آماری ۶۰ ساله (۲۰۱۰-۱۹۵۱)

۳-۵- روند یابی تغییرات دمای حدائق و حداکثر

روند یابی تغییرات میانگین دمای حدائق و حداکثر طی دوره آماری ۶۰ ساله در فصول پاییز و زمستان مورد بررسی قرار گرفت. نتایج نشان می‌دهد که در مورد میانگین دمای حدائق فصل پاییز، زمستان به ترتیب با ۲۳ و ۲۰ ایستگاه (جدول ۳ و ۴) و در مورد دمای حداکثر ۱۱ و ۵ ایستگاه روند معنادار داشته‌اند (۵ و ۶). ۵ ایستگاه از ۲۳ ایستگاه دمای حدائق در فصل پاییز روند کاهشی داشته و بقیه ایستگاه‌ها روند افزایشی نشان می‌دهند و بیشترین افزایش مربوط به دو ایستگاه تهران و مشهد بوده است (۷ درجه سانتی‌گراد). در مورد دمای حداکثر از بین ۱۱ ایستگاه دارای روند تنها ایستگاه خرم‌آباد دارای روند کاهشی بوده است. در این فصل ایستگاه‌هایی که به صورت م شترک دارای روند افزایشی در دمای حدائق و حداکثر بوده‌اند، مقدار افزایش در حداکثرها بیشتر بوده است. بدین ترتیب میزان اختلاف دمای شباهنگی (DTR) در این ایستگاه‌ها کاهش یافته است. میانگین دمای حدائق ۳ ایستگاه از ۲۰ ایستگاه دارای روند در فصل زمستان کاهشی و ۱۷ ایستگاه افزایشی بوده است. در مورد دمای حداکثر، ۵ ایستگاه روند افزایشی داشته‌اند که غیر از ایستگاه گرگان، در چهار ایستگاه بابلسر، کرمانشاه، مشهد و تبریز هم در دمای حدائق و هم در دمای حداکثر با افزایش مواجه بوده‌اند. مقدار این افزایش در دماهای حدائق بیشتر بوده است؛

بنابراین در این مناطق کاهش دامنه اختلاف دمای شبانه‌روزی رخ داده است. در ایستگاه گرگان نیز فقط در دمای حداکثر افزایش داشته است.

۱۴ ایستگاه از ۲۳ ایستگاه دمای حداقل در دوره سرد روند کاهشی و بقیه ایستگاه‌ها روند افزایشی نشان می‌دهند؛ اما در مورد دمای حداکثر همه ایستگاه‌ها غیر از خرم‌آباد روند افزایشی داشته‌اند. در ایستگاه‌های دارای روند مشترک در دمای حداکثر و حداقل، در اکثر ایستگاه‌ها روند افزایش دمای حداقل بیشتر بوده است. در ایستگاه‌های کرمانشاه و تبریز روند افزایشی دمای حداقل و حداکثر دما به صورت برابر بوده و بنابراین در این مناطق تغییر چندانی در اختلاف دمای شبانه روز ایجاد نشده است. در ایستگاه خرم‌آباد روند کاهشی دمای حداقل بیشتر از دمای حداکثر در هر دهه بوده است. به طور کلی در ایستگاه‌های نواحی سواحل جنوبی دریای کاسپین، جنوب و جنوب غرب (بجز بندرعباس) جنوب شرق، کوهپایه‌های جنوبی البرز و نواحی مرکزی افزایش دمای حداقل بدون تغییر در دمای حداکثر اتفاق افتاده است؛ بنابراین در این نواحی نیز اختلاف دمای شبانه روز کاهش یافته است. در ایستگاه‌های بندرعباس، خرم‌آباد و همدان نیز دمای حداقل و حداکثر کاهش یافته است که این امر می‌تواند ناشی از قرار گرفتن در معرض عبور توده‌های هوای سرد باشد. البته نقش توپوگرافی و موقعیت جغرافیایی ایستگاه هم مؤثر است.

جدول ۳- روندیابی تغییرات دمای حداکثر طی دوره آماری ۶۰ ساله طی فصل پاییز

| معادله خط | نوع روند | مقدار در هر ۱۰ سال | نام ایستگاه | معادله خط | نوع روند | مقدار در هر ۱۰ سال | نام ایستگاه |
|------------------------|----------|--------------------|-------------|------------------------|----------|--------------------|-------------|
| $Yt = 19.5 + 0.01 * t$ | افزایش | ۰,۱ | کرمان | $Yt = 17.5 + 0.02 * t$ | افزایش | ۰,۲ | بابلسر |
| $Yt = 16.6 + 0.02 * t$ | افزایش | ۰,۲ | کرمانشاه | $Yt = 26.8 + 0.00 * t$ | افزایش | ۰,۰۸ | بم |
| | | | | $Yt = 17.9 + 0.04 * t$ | افزایش | ۰,۴ | گرگان |

جدول ۴- روندیابی تغییرات دمای حداکثر طی دوره آماری ۶۰ ساله طی فصل زمستان

| معادله خط | نوع روند | مقدار در هر ۱۰ سال | نام ایستگاه | معادله خط | نوع روند | مقدار در هر ۱۰ سال | نام ایستگاه |
|------------------------|----------|--------------------|-------------|-------------------------|----------|--------------------|-------------|
| $Yt = 14.7 + 0.03 * t$ | افزایش | ۰,۳ | مشهد | $Yt = 17.59 + 0.02 * t$ | افزایش | ۰,۲ | بابلسر |
| $Yt = 20.3 + 0.02 * t$ | افزایش | ۰,۲ | شیراز | $Yt = 17.93 + 0.04 * t$ | افزایش | ۰,۴ | گرگان |
| $Yt = 11.7 + 0.02 * t$ | افزایش | ۰,۲ | تبریز | $Yt = 16.6 + 0.02 * t$ | افزایش | ۰,۲ | کرمانشاه |
| $Yt = 16.3 + 0.01 * t$ | افزایش | ۰,۱ | تهران | $Yt = 14.7 + 0.03 * t$ | افزایش | ۰,۳ | مشهد |

ادامه جدول ۴

| معادله خط | نوع روند | مقدار در هر سال ۱۰ | نام ایستگاه | معادله خط | نوع روند | مقدار در هر سال ۱۰ | نام ایستگاه |
|------------------------|----------|--------------------|-------------|-------------------------|----------|--------------------|-------------|
| $Yt = 19.4 + 0.03 * t$ | افزایش | ۰,۳ | بزد | $Yt = 11.7 + 0.02 * t$ | افزایش | ۰,۲ | تبریز |
| | | | | $Yt = 20.62 + 0.01 * t$ | کاهش | ۰,۱ | خرم آباد |

جدول ۵- روندیابی تغیرات دمای حداقل طی دوره آماری ۶۰ ساله طی فصل پاییز

| فصل پاییز | | | | | | | | |
|--------------------------|----------|-----------------|---------|------------------------|----------|-----------------|----------|--|
| معادله خط | نوع روند | مقدار هر سال ۱۰ | ایستگاه | معادله خط | نوع روند | مقدار هر سال ۱۰ | ایستگاه | |
| $Yt = -0.007 + 0.07 * t$ | افزایش | ۰,۷ | مشهد | $Yt = 12.5 + 0.03 * t$ | افزایش | ۰,۳ | آبادان | |
| $Yt = 3.1 + 0.06 * t$ | کاهش | ۰,۶ | ارومیه | $Yt = 11.7 + 0.05 * t$ | افزایش | ۰,۵ | اهواز | |
| $Yt = 9.3 + 0.03 * t$ | افزایش | ۰,۳ | رامسر | $Yt = 9.5 + 0.04 * t$ | افزایش | ۰,۴ | انزلی | |
| $Yt = 7.1 + 0.04 * t$ | افزایش | ۰,۴ | رشت | $Yt = 8.5 + 0.04 * t$ | افزایش | ۰,۴ | بابلسر | |
| $Y = -0.001 - 0.02 * t$ | کاهش | ۰,۲ | شهرکرد | $Yt = 11 + 0.008 * t$ | افزایش | ۰,۰۸ | بم | |
| $Yt = 2.2 + 0.05 * t$ | افزایش | ۰,۵ | شاہرود | $Yt = 19 - 0.01 * t$ | کاهش | ۰,۱ | بندرعباس | |
| $Yt = 3.9 + 0.03 * t$ | افزایش | ۰,۳ | شیراز | $Yt = 14.8 + 0.04 * t$ | افزایش | ۰,۴ | بوشهر | |
| $Yt = 1.5 + 0.03 * t$ | افزایش | ۰,۳ | تبریز | $Yt = 2.7 + 0.03 * t$ | افزایش | ۰,۳ | اصفهان | |
| $Yt = 5.1 + 0.07 * t$ | افزایش | ۰,۷ | تهران | $Yt = -0.4 - 0.02 * t$ | کاهش | ۰,۲ | همدان | |
| $Yt = 4.1 + 0.05 * t$ | افزایش | ۰,۵ | بزد | $Yt = 0.6 + 0.01 * t$ | افزایش | ۰,۱ | کرمان | |
| $Yt = 3.3 + 0.03 * t$ | افزایش | ۰,۳ | زاهدان | $Yt = 1 + 0.04 * t$ | افزایش | ۰,۴ | کرمانشاه | |
| | | | | $Yt = 6.5 + 0.03 * t$ | کاهش | ۰,۳ | خرم آباد | |

جدول ۸- روندیابی تغیرات دمای حداقل طی دوره آماری ۶۰ ساله طی فصل زمستان

| فصل زمستان | | | | | | | | |
|------------------------|----------|-----------------|----------|-----------------------|----------|-----------------|---------|---------|
| معادله خط | نوع روند | مقدار هر سال ۱۰ | ایستگاه | معادله خط | نوع روند | مقدار هر سال ۱۰ | ایستگاه | ایستگاه |
| $Yt = 2.67 - 0.03 * t$ | کاهش | ۰,۳ | خرم آباد | $Yt = 9 + 0.02 * t$ | افزایش | ۰,۲ | آبادان | |
| $Y = -2.2 + 0.04 * t$ | افزایش | ۰,۴ | مشهد | $Yt = 8.2 + 0.04 * t$ | افزایش | ۰,۴ | اهواز | |
| $Yt = 4.04 + 0.02 * t$ | افزایش | ۰,۲ | رامسر | $Yt = 4.1 + 0.03 * t$ | افزایش | ۰,۳ | انزلی | |
| $Yt = 2.5 + 0.03 * t$ | افزایش | ۰,۳ | رشت | $Yt = 4.2 + 0.03 * t$ | افزایش | ۰,۳ | بابلسر | |

ادامه جدول ۸

| فصل زمستان | | | | | | | | |
|------------------------|----------|-----------------|---------|------------------------|----------|-----------------|----------|--|
| معادله خط | نوع روند | مقدار هر سال ۱۰ | ایستگاه | معادله خط | نوع روند | مقدار هر سال ۱۰ | ایستگاه | |
| $Yt = -1.1 + 0.02 * t$ | افزایش | ۰,۲ | شهرود | $Yt = 7.5 + 0.02 * t$ | افزایش | ۰,۲ | بم | |
| $Yt = 1.6 + 0.02 * t$ | افزایش | ۰,۲ | شهراز | $Yt = 15.2 - 0.02 * t$ | کاهش | ۰,۲ | بندرعباس | |
| $Yt = -4 + 0.03 * t$ | افزایش | ۰,۳ | تبریز | $Yt = 11.1 + 0.02 * t$ | افزایش | ۰,۲ | بوشهر | |
| $Yt = 0.3 + 0.06 * t$ | افزایش | ۰,۶ | تهران | $Yt = 0.05 + 0.01 * t$ | افزایش | ۰,۱ | اصفهان | |
| $Yt = 2.3 + 0.01 * t$ | افزایش | ۰,۱ | یزد | $Yt = -4 - 0.04 * t$ | کاهش | ۰,۴ | همدان | |
| $Yt = 3.6 + 0.01 * t$ | افزایش | ۰,۱ | زاهدان | $Yt = -2. + 0.02 * t$ | افزایش | ۰,۲ | کرمانشاه | |

۴- جمع‌بندی

به‌طور کلی ضریب تغییرات در سواحل شمالی پایین است که بیانگر نزدیک بودن خصوصیات دما به توزیع نرمال است. در سواحل جنوبی دریای کاسپین میانگین دمای حداقل و حداکثر زمستان کمتر از پاییز و ضریب تغییرات آن بالنسبه بیشتر است که می‌تواند به دلیل تأثیرپذیری بیشتر از توده‌های هوایی با منشاء عرض‌های بالای جغرافیایی در این دوره‌ها باشد. بیشترین ضریب تغییرات در ایستگاه گرگان مشاهده شده که می‌تواند ناشی از صعود حاصل از واداشت اجباری هوا و نزول متعاقب آن از دامنه‌های البرز شرقی باشد. در شمال غرب و غرب کشور نشان می‌دهد که کمترین میانگین دمای حداکثر در هر سه دوره پاییز، زمستان و دوره سرد در شمال غرب و غرب رخ داده است و بیشترین ضریب تغییرات را نیز دارد. در فصل پاییز، زمستان و دوره سرد بالاترین ضریب تغییرات و کمترین میانگین دمای حداکثر رخ داده است که می‌تواند ناشی از مسیرهای ورودی هوای سرد در شمال غرب کشور باشد و کانالیزه شدن مسیر حرکت توسط کوههای سبب تجمع و انباست آنها بخصوص در منطقه خرم‌آباد و شهرکرد می‌شود و باعث ایجاد ضریب تغییرات بالای این دو ایستگاه نسبت به دیگر ایستگاه‌های نیمه غربی می‌شود. در حالی که کمترین میانگین دمای حداقل در فصل پاییز در هر سه الگو در شمال غرب، غرب دیده می‌شود و با گذر از مرکز ایران به سوی جنوب شرق و جنوب بر مقادیر میانگین دمای حداقل این فصل افزوده می‌شود. در فصل زمستان در بین ایستگاه‌های مورد مطالعه، همدان از بیشترین ضریب تغییرات برخوردار است که می‌تواند به دلیل موقعیت جغرافیایی، نحوه آرایش ناهمواری‌ها و ارتفاع این ایستگاه باشد. در نواحی شمال غرب و غرب، در فصل پاییز وزمستان بالاترین ضریب تغییرات و کمترین میانگین دمای حداکثر رخ داده است که می‌تواند ناشی از مسیرهای ورودی هوای سرد در شمال غرب کشور و کانالیزه شدن مسیر حرکت توسط کوههای باشد که سبب تجمع و انباست آنها بخصوص در منطقه خرم‌آباد و شهرکرد می‌شود و باعث ایجاد ضریب تغییرات بالای این دو ایستگاه نسبت به دیگر ایستگاه‌های نیمه

غربی می شود. کوهپایه‌های جنوبی البرز و شمال شرق بالاترین میانگین دمای حداکثر و بیشترین ضریب تغییرات را تجربه کرده‌اند در حالی که میانگین دمای حداقل چندان بالا نبوده و ضریب تغییرات آن کمتر بوده است. در ۳۰ سال دوم، هم میانگین حداقل و هم میانگین حداکثر دما افزایش یافته است. در نواحی مرکزی، شرقی، جنوب شرقی، جنوب و جنوب غربی هر دو میانگین دمای حداکثر و حداقل دما بالا و ضریب تغییرات پایین بوده است. در بین این مناطق کمترین ضریب تغییرات و بیشترین میانگین دمای حداکثر و حداقل ثبت شده در نواحی جنوبی رخ داده است که می‌تواند ناشی از تأثیر نم نسبی در قالب پسخوراند مثبت در تشدید گرمای هوا، پایین بودن عرض جغرافیایی، طول روز بیشتر در این فصول و قرار گرفتن بیشتر در معرض تابش بخصوص در ایستگاه‌های بندرعباس و بوشهر باشد. بیشترین روند افزایشی دمای حداقل هم در ۳۰ ساله دوم و هم در ۱۰ ساله آخر در هر سه دوره در کل کشور در کوهپایه‌های جنوبی البرز و شمال شرق مشاهده می‌شود. با توجه به اینکه در اکثر ایستگاه‌ها، دمای میانگین حداکثر و حداقل غیر از نواحی غرب و شمال غرب در ۳۰ سال دوم نسبت به ۳۰ سال اول و دوره ۶۰ ساله و در همه مناطق در ۱۰ ساله آخر نسبت به ۱۰ ساله اول افزایش یافته است که بیانگر، کاهش عملکرد سامانه‌های عرض‌های بالای جغرافیایی، همچنین تمرکز جمعیت بیشتر و تغییر کاربری اراضی و تراکم ساخت و ساز، ترافیک و بهطور خلاصه دستکاری انسان در طبیعت باشد که پیامد آن افزایش گازهای گلخانه‌ای و ایجاد جزیره حرارتی بخصوص بر روی کلانشهرها است.

بیشترین افزایش میانگین حداقل دما در کوهپایه‌های جنوبی البرز و شمال شرق و بیشترین افزایش دمای حداکثر در ایستگاه مشهد رخ داده است. در این نواحی دو کلان شهر تهران و مشهد با جمعیت، درجه صنعتی، توریستی و آزادگی بالا قرار دارند که همه این موارد می‌توانند از دلایل بالا بودن میانگین دمای حداقل نسبت به سایر ایستگاه‌ها در دوره ۳۰ ساله دوم و ۱۰ ساله آخر باشد؛ بنابراین بهطورکلی می‌توان به وجود یک روند افزایشی در میانگین دمای حداقل و حداکثر و به تبع آن افزایش در متوسط دما در سه دهه اخیر دوره آماری مورد نظر بی برد که این افزایش خود در اثر عوامل گوناگونی همچون افزایش گازهای گلخانه‌ای در اثر استفاده از سوختهای، قطع بی رویه جنگلهای در نقاط مختلف و دیگر دخالت‌ها و دستگاریهای انسان در طبیعت رخ داده است. این افزایش با دستاوردهای شمسی و موسوی بایگی (۱۳۹۵)، سبزی پرور و همکاران (۱۳۹۰)، ورشاویان و همکاران (۱۳۹۰) و رحیم زاده و عسکری (۱۳۸۳) هماهنگی دارد. در نواحی شمال غرب و غرب نیز همچنین طی سه دوره کمتر دستخوش تغییرات میانگین دمای حداقل و حداکثر واقع شده یا میانگین دمای حداقل آنها در دهه پایانی نسبت به دهه ابتدایی کاهش یافته که می‌تواند به علت قرار گرفتن در مسیر توده‌های هوایی سردی باشد که به کشور وارد می‌شوند. دماهای ۲۰ درصد کمینه دمای حداقل و حداکثر ثبت شده ایستگاه‌ها، غیر از ۳۰ سال اول فصل پاییز، در بقیه دوره‌ها بر هم منطبق هستند. در ۳۰ سال اول فصل پاییز دوره‌های سرد فرآگیر در دهه ۵۰ رخ داده است؛ اما در ۳۰ سال اول دمای حداقل

در فصل پاییز و زمستان و ۳۰ سال اول دمای حداکثر در فصل زمستان، بیشترین دوره‌های سرد در دهه ۷۰ بخش‌های وسیعی از کشور را مورد هجوم قرار داده است. در مورد دماهای ۲۰ در صد حد بیشینه دمای حداکثر و حداقل ثبت شده ایستگاه‌ها طی دو دوره پاییز و زمستان باید گفت که در دهه پایانی ۳۰ سال دوم (سال‌های ۲۰۰۰ تا ۲۰۱۰) که به عنوان نمادی از تأثیر فراینده گرمایش جهانی ناشی از افزایش گازهای گلخانه‌ای می‌توان نام برد، دوره‌های گرم گستردگی‌های کشور را تحت تأثیر قرار داده که با توجه به موقعیت جغرافیایی ایران و ویژگی‌های بارشی آن می‌تواند پیامدهای ناگواری از جهات اقتصادی- اجتماعی، سیاسی و زیستمحیطی به همراه داشته باشد. آمارها نشان می‌دهد که فراوانی نرخ گرمایی فرآگیر در پاییز و زمستان بیشتر شده است. روندیابی با استفاده از روش من-کنдал نشان داده که فراوانی ایستگاه‌های دارای روند در دمای حداقل بسیار بیشتر از دمای حداکثر است. این بدان معناست که دماهای حداقل دستخوش تغییرات بیشتری که عمدتاً افزایشی است، شده است. به طورکلی می‌توان گفت در سه دوره مورد مطالعه (پاییز، زمستان و دوره سرد) مقدار حداقل‌های دمایی افزایش بیشتری داشته که با توجه به وضعیت روند در دمای حداکثر، منجر به کاهش دامنه اختلاف دمای شباهه‌روزی شده است. این امر بیانگر وجود یک تغییر در الگوی دمای کشور است که می‌تواند ناشی از اثرات انسانی و دستکاری انسان در طبیعت که در نهایت منجر به تغییرات اقلیمی می‌شود، باشد. شایان ذکر است که با بررسی بیشتر میانگین حداقل و حداکثر دما مشخص شد که در برخی ایستگاه‌ها اختلافاتی در ۳۰ ساله دوم نسبت به ۳۰ ساله اول وجود داشته که بعضی از آنها قابل توجه بوده است؛ اما آزمون من-کنдал نتوانسته به خوبی وجود روند داین ایستگاه‌ها را مشخص سازد. به همین دلیل می‌توان گفت که این آزمون نمی‌تواند برای پی بردن به روند موجود در عنصر دما قابل اعتماد باشد و باید از روش‌های جایگزین بهتری استفاده شود. در نهایت می‌توان گفت که نتایج تحقیق نشان می‌دهد که مدیران سطوح مختلف کشور باید به شکلی بسیار هوشمندانه در بهره وری از منابع کشور عمل کنند، چون که سرزمین ایران در برابر خشکی و خشکسالی‌های فرآگیر که نمادی از هجوم دوره‌های گرم فرآگیر می‌باشند، نسبت به بسیاری از کشورها آسیب پذیر تر است و از طرفی پیامدهای آن از عمق و گسترش بیشتری می‌تواند برخوردار باشد.

تقدیر و تشکر

از پژوهشکده هواشناسی و علوم جو به سبب در اختیار گذاشتن فرست مطالعاتی و همچنین همکاری بسیار نزدیک درمورد دریافت داده‌ها و استفاده از منابع مورد نیاز این موسسه و همچنین جناب آقای دکتر محمد پور، جناب آقای دکتر رهنما و جناب آقای دکتر روح‌بخش به سبب کمک‌های علمی ایشان قدردانی می‌شود. همچنین از صندوق حمایت از پژوهشگران و فناوران کشور به سبب حمایت مالی از این مقاله قدردانی می‌شود.

کتابنامه

- اسمعیل نژاد، م؛ خسروی، م؛ علیجانی، ب؛ مسعودیان، ا. شناسایی امواج گرمایی ایران. مجله جغرافیا و توسعه. شماره ۵۴-۳۹. صص ۳۳.
- امیدوار، ک؛ خسروی، ی؛ ۱۳۸۹. بررسی تغییر برخی عناصر اقلیمی در سواحل شمالی خلیج فارس با استفاده از آزمون کنдал. مجله جغرافیا و برنامه ریزی محیطی. شماره ۲(۳۸). صص ۳۳-۴۶.
- خوش اخلاق، ف؛ غریبی، ا؛ شفیعی، ز؛ ۱۳۹۰. نگرشی بر تغییرات حداقل‌های مطلق دما در پهنه ایران زمین. مجله جغرافیا و برنامه ریزی محیطی. شماره ۲(۴۲). صص ۱۹۹-۲۱۶.
- رحیم‌زاده، ف؛ عسکری، ا؛ ۱۳۸۳. نگرشی بر تفاوت نرخ افزایشی دمای حداقل و حداکثر و کاهش دامنه شباهنگی دما در ایران. فصلنامه تحقیقات جغرافیایی. شماره ۷۳. صص ۱۵۳-۱۷۱.
- رئیسی نافچی، ع؛ سلطانی محمدی، ا؛ ۱۳۹۵. بررسی تغییرات زمانی بارندگی و میانگین، حداقل و حداکثر دما (مطالعه موردی: ایستگاه شهرکرد). مجله علمی-ترویجی نیوار. شماره ۹۵-۹۴. صص ۶۹-۸۰.
- سبزی‌پور، ع؛ میرگلوی بیات، ر؛ قیامی، ف؛ ۱۳۹۰. ارزیابی روند احتمالی تغییرات اختلاف دمای شباهنگی در برخی اقلیم‌های خشک کشور طی پنج دهه گذشته. مجله پژوهش فیزیک ایران. شماره ۱۱(۱۱). صص ۲۷-۳۷.
- شمس، س؛ موسوی بایگی، م؛ ۱۳۹۵. بررسی نقطه شکست و روند تغییرات دامنه شباهنگی دمای هوای شهر مشهد. نشریه آب و خاک (علوم و صنایع کشاورزی). شماره ۲(۳۰). صص ۱۶۸۵-۱۶۷۳.
- قاسمی‌فر، ا؛ ناصرپور، س؛ ۱۳۹۵. تحلیل سینوپتیکی امواج گرما و سرما در سواحل جنوبی دریای خزر. فصلنامه اطلاعات جغرافیایی. شماره. صص ۱۳۵-۱۴۶.
- قویدل رحیمی، ی؛ فرج‌زاده، م؛ مطلبی‌زاد، س؛ ۱۳۹۵. تحلیل آماری و سینوپتیک امواج سرمایی منطقه شمال‌غرب ایران. نشریه تحقیقات کاربردی علوم جغرافیایی. شماره ۴۰. صص ۲۹-۴۶.
- ورشاویان، و؛ خلیلی، ع؛ قهرمان، ن؛ حجام، س؛ ۱۳۹۰. بررسی روند تغییرات مقادیر حدی دمای حداقل، حداکثر و میانگین روزانه در چند نمونه اقلیمی ایران. مجله فیزیک زمین و فضا. شماره ۱(۳۷). صص ۱۶۹-۱۷۹.

- Alexander, LV., Zhang, X., Peterson, TC., Caesar, J., Gleason, B., Klein, AMG., Haylock, M., Collins, D., Trewin, B., Rahimzadeh, F., 2006. Global observed changes in daily climate extremes of temperature and precipitation. *Journal of Geophysical Research*, pp. 1-22
- Barnett, A.G., Hajat, S., Gasparrini, A., & Rocklov, J. (2014). Cold and heat waves in the United States. *Environmental Research*, 112, 218–224.
- Ceccherini, G., Russo, S., Ameztoy, I., Patricia Romero, C., Carmona-Moreno, C., 2016. Magnitude and frequency of heat and cold waves in recent decades: the case of South America. *Nat. Hazards Earth Syst*, 16, 821–831.
- Hamid, AT., Sharif, M., Arche, D., 2014. Analysis of Temperature Trends in Satluj River Basin. India. 5. 2-9.

- Houghton, J T.Y., Ding, D J., Griggs, M., Noguer, P J., Linden, X., Dai, K., Maskell, C.A., 2001, Climate Change 2001: The Scientific Basis, Cambridge Univ. Press, New York. Vol. 111, pp. 1-22.
- IPCC. 2013. Climate change 2013, 2016, the physical science basis. In Contribution of Working Group I to the Fifth Assessment Report of the Intergovernmental Panel on Climate Change.
- Raisanen, J., Hansson, U., Ullerstig, A., Doscher, R., Graham, L.P., Jones, C., Meier, HEM., Samuelsson, P., Willen, U., 2004, European climate in the late twenty-first century: Regional simulations with two driving global models and two forcing scenarios. Climate Dynamics 22.
- Ramond, A., 2014. Trends of Maximum and Minimum Temperatures in Northern South America, Journal of Climate, Vol. 2. 2104-2112.
- Roy, S.S., Balling, C., 2005. Analysis of trends in maximum and minimum temperature, diurnal temperature range, and cloud cover over India, Geophysical Research, 32. 1-4.
- Tshala, M.F., 2011, Analysis of Temperature Trends over Limpopo Province. South Africa. Journal of Geography and Geology. 3(1), pp. 13-21.

